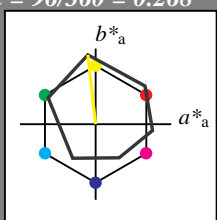


**Eingabe: Farbmétrisches Reflexions-System ORS18**für Bunton  $h^* = lab^*h = 96/360 = 0.268$   
 $lab^*tch$  und  $lab^*nch$ 

D65: Bunton Y

LCH\*Ma: 90 92 96

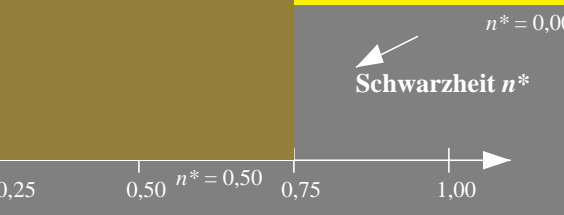
olv\*Ma: 1.0 1.0 0.0

Dreiecks-Helligkeit  $t^*$ 

%Umfang

u\*<sub>rel</sub> = 93

%Regularität

g\*<sub>H,rel</sub> = 57g\*<sub>C,rel</sub> = 59

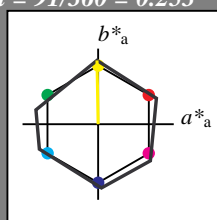
UG020-7, 3stufige Reihen für konstanten CIELAB Bunton 96/360 = 0.268 (links)

BAM-Prüfvorlage UG02; Farbmétrik-Systeme ORS18 & ORS18 input: cmy0\* setcmykcolor  
D65: 3stufige Farbreihen und Koordinaten-Daten für 10 Bunttöneoutput: Startup (S) data dependend**Ausgabe: Farbmétrisches Reflexions-System NRS11**für Bunton  $h^* = lab^*h = 91/360 = 0.253$   
 $lab^*tch$  und  $lab^*nch$ 

D65: Bunton J

LCH\*Ma: 53 84 91

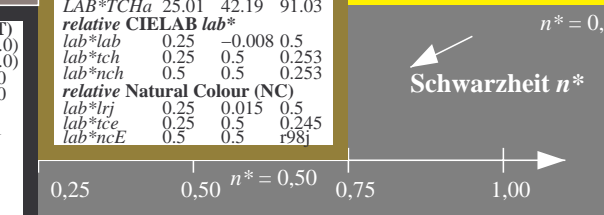
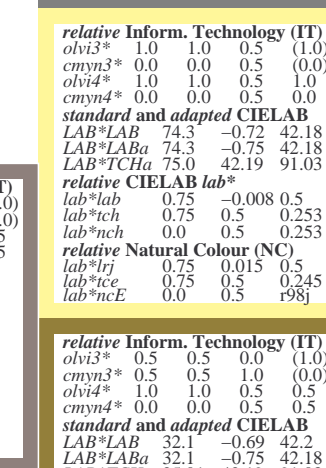
olv\*Ma: 1.0 1.0 0.0

Dreiecks-Helligkeit  $t^*$ 

%Umfang

u\*<sub>rel</sub> = 119

%Regularität

g\*<sub>H,rel</sub> = 47g\*<sub>C,rel</sub> = 100

3 stufige Reihen für konstanten CIELAB Bunton 91/360 = 0.253 (rechts)

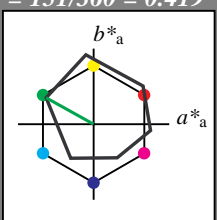
**NRS11; adaptierte CIELAB-Daten** $L^* = L^*_{ab,a}$   $a^*_{ab,a}$   $b^*_{ab,a}$   $C^*_{ab,a}$   $h^*_{ab,a}$ 

OMa	47.94	65.37	50.52	82.62	38
YMa	90.37	-10.27	91.77	92.34	96
LMa	50.9	-62.79	34.95	71.87	151
CMa	58.62	-30.35	-45.01	54.3	236
VMa	25.71	31.11	-44.42	54.24	305
MMa	48.13	75.27	-8.35	75.73	354
NMa	18.01	0.0	0.0	0.0	0
WMa	95.41	0.0	0.0	0.0	0
RCIE	39.92	58.66	26.98	64.56	25
JCIE	81.26	-2.17	67.76	67.79	92
GCIE	52.23	-42.26	11.75	43.87	164
BCIE	30.57	1.15	-46.84	46.87	271

olvi3*	1.0	1.0	1.0	(1.0)
cmyn3*	0.0	0.0	0.0	(0.0)
olvi4*	1.0	1.0	1.0	1.0
cmyn4*	0.0	0.0	0.0	0.0
<b>standard and adapted CIELAB</b>				
LAB*LAB	95.41	0.0	-0.01	
LAB*LABa	95.41	0.0	0.0	
LAB*TChA	99.99	0.01	-	
<b>relative CIELAB lab*</b>				
lab*lab	1.0	0.0	0.0	
lab*tch	1.0	0.0	-	
lab*nch	0.0	0.0	-	
<b>relative Natural Colour (NC)</b>				
lab*lrj	1.0	0.0	0.0	
lab*tce	1.0	0.0	-	
lab*ncE	0.0	0.0	-	

olvi3*	1.0	1.0	0.5	(1.0)
cmyn3*	0.0	0.0	0.5	(0.0)
olvi4*	1.0	1.0	0.5	1.0
cmyn4*	0.0	0.0	0.5	0.0
<b>standard and adapted CIELAB</b>				
LAB*LAB	74.3	-0.72	42.18	
LAB*LABa	74.3	-0.75	42.18	
LAB*TChA	75.0	0.21	91.03	
<b>relative CIELAB lab*</b>				
lab*lab	0.75	-0.008	0.5	
lab*tch	0.75	0.5	0.253	
lab*nch	0.0	0.5	0.253	
<b>relative Natural Colour (NC)</b>				
lab*lrj	0.75	0.015	0.5	
lab*tce	0.75	0.5	0.245	
lab*ncE	0.0	0.5	r98j	

olvi3*	1.0	1.0	0.0	(1.0)
cmyn3*	0.0	0.0	1.0	(0.0)
olvi4*	1.0	1.0	0.0	1.0
cmyn4*	0.0	0.0	1.0	0.0
<b>standard and adapted CIELAB</b>				
LAB*LAB	53.2	-1.46	84.37	
LAB*LABa	53.2	-1.51	84.36	
LAB*TChA	50.0	0.37	91.03	
<b>relative CIELAB lab*</b>				
lab*lab	0.5	-0.017	1.0	
lab*tch	0.5	1.0	0.253	
lab*nch	0.0	1.0	0.253	
<b>relative Natural Colour (NC)</b>				
lab*lrj	0.5	0.031	0.999	
lab*tce	0.5	1.0	0.245	
lab*ncE	0.0	1.0	r98j	

**Eingabe: Farbmétrisches Reflexions-System ORS18**für Bunton  $h^* = lab^*h = 151/360 = 0.419$   
 $lab^*tch$  und  $lab^*nch$ **D65:** Bunton L  
LCH\*Ma: 51 72 151  
olv\*Ma: 0.0 1.0 0.0Dreiecks-Helligkeit  $t^*$ 

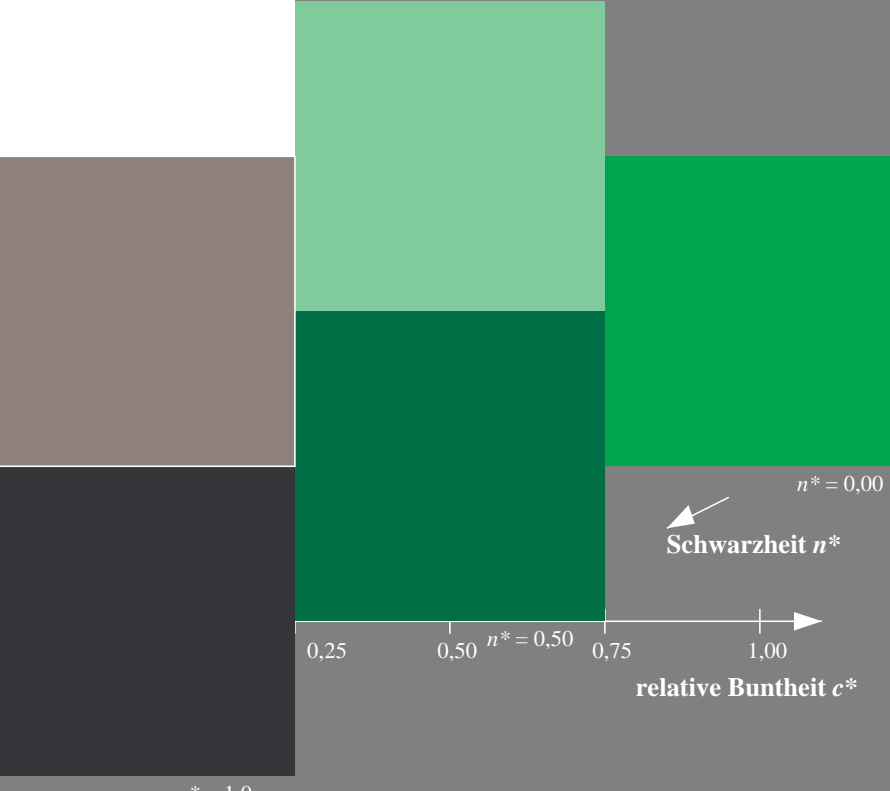
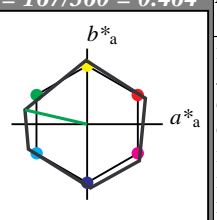
%Umfang

u\*<sub>rel</sub> = 93

%Regularität

g\*<sub>H,rel</sub> = 57g\*<sub>C,rel</sub> = 59**ORS18; adaptierte CIELAB-Daten**

	$L^*$ = $L^*_a$	$a^*_a$	$b^*_a$	$C^*_{ab,a}$	$h^*_{ab,a}$
OMa	47.94	65.37	50.52	82.62	38
YMa	90.37	-10.27	91.77	92.34	96
LMa	50.9	-62.79	34.95	71.87	151
CMa	58.62	-30.35	-45.01	54.3	236
VMa	25.71	31.11	-44.42	54.24	305
MMa	48.13	75.27	-8.35	75.73	354
NMa	18.01	0.0	0.0	0.0	0
WMa	95.41	0.0	0.0	0.0	0
RCIE	39.92	58.66	26.98	64.56	25
JCIE	81.26	-2.17	67.76	67.79	92
GCIE	52.23	-42.26	11.75	43.87	164
BCIE	30.57	1.15	-46.84	46.87	271

**Ausgabe: Farbmétrisches Reflexions-System NRS11**für Bunton  $h^* = lab^*h = 167/360 = 0.464$   
 $lab^*tch$  und  $lab^*nch$ **D65:** Bunton G  
LCH\*Ma: 53 84 167  
olv\*Ma: 0.0 1.0 0.0

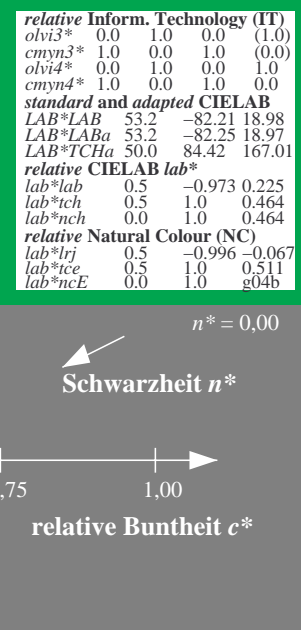
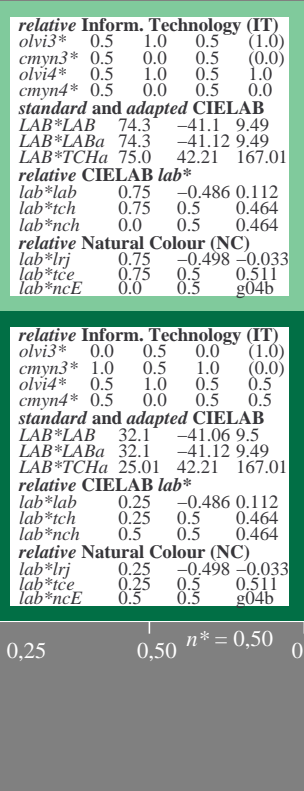
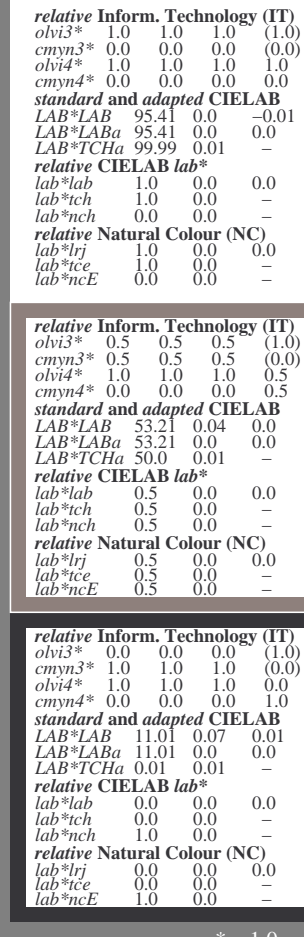
%Umfang

u\*<sub>rel</sub> = 119

%Regularität

g\*<sub>H,rel</sub> = 47g\*<sub>C,rel</sub> = 100**NRS11; adaptierte CIELAB-Daten**

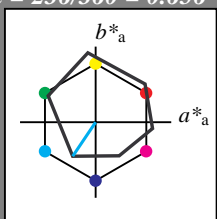
	$L^*$ = $L^*_a$	$a^*_a$	$b^*_a$	$C^*_{ab,a}$	$h^*_{ab,a}$
RMa	53.2	77.06	34.32	84.36	24
JMa	53.2	-1.51	84.38	84.39	91
GMa	53.2	-82.27	18.98	84.44	167
G50BMa	53.2	-77.72	-32.98	84.44	203
BMa	53.2	4.37	-84.28	84.41	273
B50RMa	53.2	69.09	-48.41	84.37	325
NMa	10.99	0.0	0.0	0.0	0
WMa	95.41	0.0	0.0	0.0	0
RCIE	39.92	58.69	27.98	65.01	25
JCIE	81.26	-2.9	71.56	71.62	92
GCIE	52.23	-42.45	13.59	44.59	162
BCIE	30.57	1.35	-46.48	46.51	272



**Eingabe: Farbmétrisches Reflexions-System ORS18**für Bunton  $h^* = lab^*h = 236/360 = 0.656$   
 $lab^*tch$  und  $lab^*nch$ **D65:** Bunton C

LCH\*Ma: 59 54 236

olv\*Ma: 0.0 1.0 1.0

Dreiecks-Helligkeit  $t^*$ 

%Umfang

u\*\_rel = 93

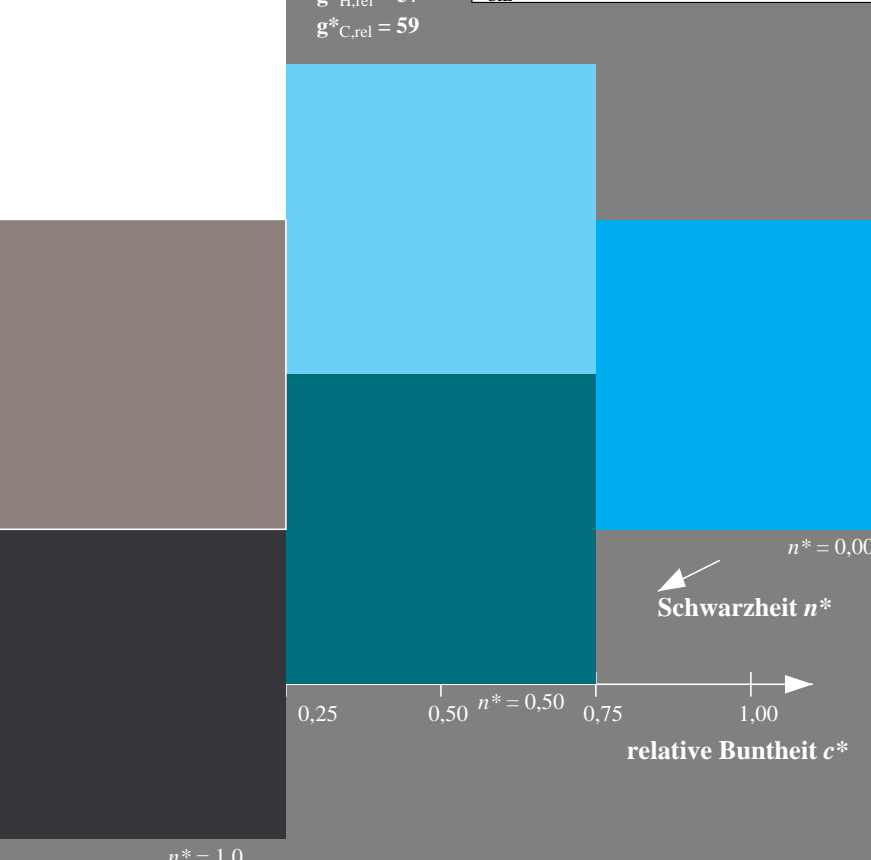
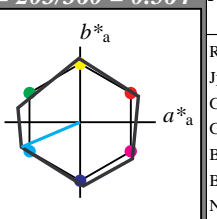
%Regularität

g\*\_H,rel = 57

g\*\_C,rel = 59

**ORS18; adaptierte CIELAB-Daten**

	$L^* = L^*_{ab}$	$a^*_{ab}$	$b^*_{ab}$	$C^*_{ab,a}$	$h^*_{ab,a}$
OMa	47.94	65.37	50.52	82.62	38
YMa	90.37	-10.27	91.77	92.34	96
LMa	50.9	-62.79	34.95	71.87	151
CMa	58.62	-30.35	-45.01	54.3	236
VMa	25.71	31.11	-44.42	54.24	305
MMa	48.13	75.27	-8.35	75.73	354
NMa	18.01	0.0	0.0	0.0	0
WMa	95.41	0.0	0.0	0.0	0
RCIE	39.92	58.66	26.98	64.56	25
JCIE	81.26	-2.17	67.76	67.79	92
GCIE	52.23	-42.26	11.75	43.87	164
BCIE	30.57	1.15	-46.84	46.87	271

**Ausgabe: Farbmétrisches Reflexions-System NRS11**für Bunton  $h^* = lab^*h = 203/360 = 0.564$   
 $lab^*tch$  und  $lab^*nch$ **D65:** Bunton G50B  
LCH\*Ma: 53 84 203  
olv\*Ma: 0.0 1.0 1.0Dreiecks-Helligkeit  $t^*$ 

%Umfang

u\*\_rel = 119

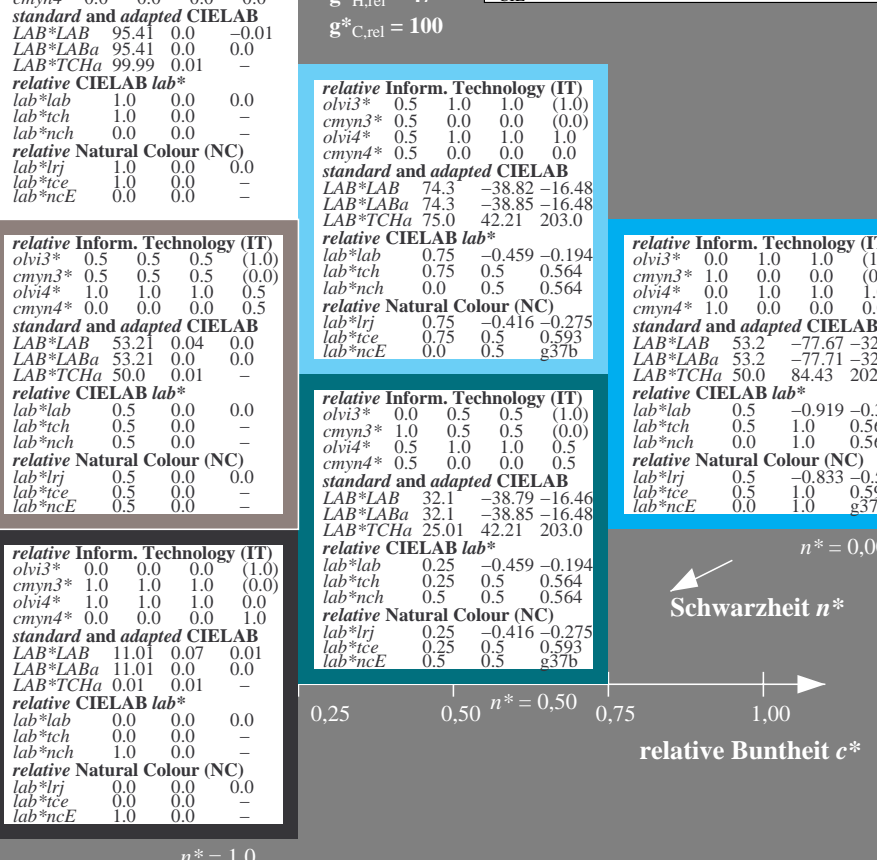
%Regularität

g\*\_H,rel = 47

g\*\_C,rel = 100

**NRS11; adaptierte CIELAB-Daten**

	$L^* = L^*_{ab}$	$a^*_{ab}$	$b^*_{ab}$	$C^*_{ab,a}$	$h^*_{ab,a}$
RMa	53.2	77.06	34.32	84.36	24
JMa	53.2	-1.51	84.38	84.39	91
GMa	53.2	-82.27	18.98	84.44	167
G50BMa	53.2	-77.72	-32.98	84.44	203
BMa	53.2	4.37	-84.28	84.41	273
B50RMa	53.2	69.09	-48.41	84.37	325
NMa	10.99	0.0	0.0	0.0	0
WMa	95.41	0.0	0.0	0.0	0
RCIE	39.92	58.69	27.98	65.01	25
JCIE	81.26	-2.29	71.56	71.62	92
GCIE	52.23	-42.45	13.59	44.59	162
BCIE	30.57	1.35	-46.48	46.51	272



3 stufige Reihen für konstanten CIELAB Bunton 203/360 = 0.564 (rechts)

BAM-Prüfvorlage UG02; Farbmétrik-Systeme ORS18 & ORS18 input: cmy0\* setcmykcolor  
D65: 3stufige Farbreihen und Koordinaten-Daten für 10 Bunttöneoutput: Startup (S) data dependend

Siehe ähnliche Dateien: <http://www.ps.bam.de/UG02/>  
 Technische Information: <http://www.ps.bam.de> Version 2.1, io=0,0?

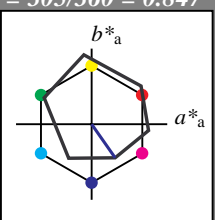
**Eingabe: Farbmétrisches Reflexions-System ORS18**

für Bunton  $h^* = lab^*h = 305/360 = 0.847$   
 $lab^*tch$  und  $lab^*nch$

D65: Bunton V

LCH\*Ma: 26 54 305

olv\*Ma: 0.0 0.0 1.0

Dreiecks-Helligkeit  $t^*$ 

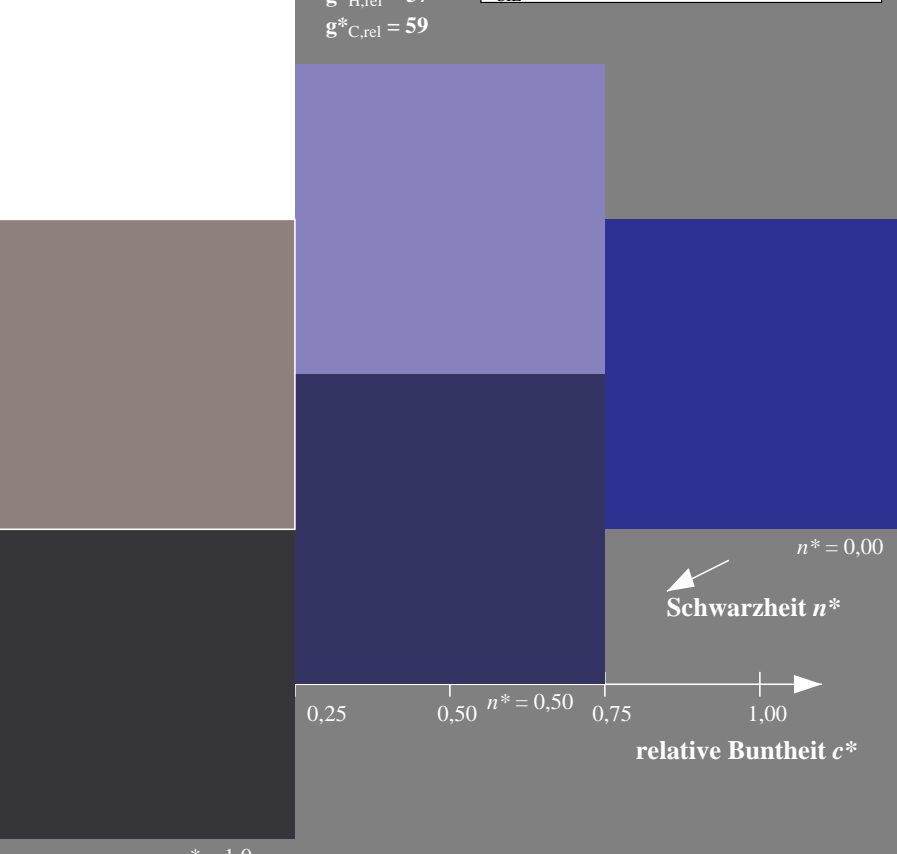
%Umfang

u\*<sub>rel</sub> = 93

%Regularität

g\*<sub>H,rel</sub> = 57g\*<sub>C,rel</sub> = 59**ORS18; adaptierte CIELAB-Daten**

	L*	a*	b*	C* <sub>ab,a</sub>	h* <sub>ab,a</sub>
OMa	47.94	65.37	50.52	82.62	38
YMa	90.37	-10.27	91.77	92.34	96
LMa	50.9	-62.79	34.95	71.87	151
CMa	58.62	-30.35	-45.01	54.3	236
VMa	25.71	31.11	-44.42	54.24	305
MMa	48.13	75.27	-8.35	75.73	354
NMa	18.01	0.0	0.0	0.0	0
WMa	95.41	0.0	0.0	0.0	0
RCIE	39.92	58.66	26.98	64.56	25
JCIE	81.26	-2.17	67.76	67.79	92
GCIE	52.23	-42.26	11.75	43.87	164
BCIE	30.57	1.15	-46.84	46.87	271

**Ausgabe: Farbmétrisches Reflexions-System NRS11**

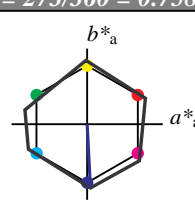
für Bunton  $h^* = lab^*h = 273/360 = 0.758$

lab\*<sub>tch</sub> und lab\*<sub>nch</sub>

D65: Bunton B

LCH\*Ma: 53 84 273

olv\*Ma: 0.0 0.0 1.0

Dreiecks-Helligkeit  $t^*$ 

%Umfang

u\*<sub>rel</sub> = 119

%Regularität

g\*<sub>H,rel</sub> = 47g\*<sub>C,rel</sub> = 100**NRS11; adaptierte CIELAB-Daten**

	L*	a*	b*	C* <sub>ab,a</sub>	h* <sub>ab,a</sub>
RMa	53.2	77.06	34.32	84.36	24
JMa	53.2	-1.51	84.38	84.39	91
GMa	53.2	-82.27	18.98	84.44	167
G50BMa	53.2	-77.72	-32.98	84.44	203
BMa	53.2	4.37	-84.28	84.41	273
B50RMa	53.2	69.09	-48.41	84.37	325
NMa	10.99	0.0	0.0	0.0	0
WMa	95.41	0.0	0.0	0.0	0
RCIE	39.92	58.69	27.98	65.01	25
JCIE	81.26	-2.9	71.56	71.62	92
GCIE	52.23	-42.45	13.59	44.59	162
BCIE	30.57	1.35	-46.48	46.51	272

relative Inform. Technology (IT)  
 olvi3\*: 1.0 1.0 1.0 (1.0)  
 cmyn3\*: 0.0 0.0 0.0 (0.0)  
 olvi4\*: 1.0 1.0 1.0 1.0  
 cmyn4\*: 0.0 0.0 0.0 0.0  
**standard and adapted CIELAB**  
 LAB\*LAB 95.41 0.0 -0.01  
 LAB\*LABa 95.41 0.0 0.0  
 LAB\*TChA 99.99 0.01 -

relative CIELAB lab\*  
 lab\*lab 1.0 0.0 0.0  
 lab\*tch 1.0 0.0 -  
 lab\*nch 0.0 0.0 -  
**relative Natural Colour (NC)**  
 lab\*lrj 1.0 0.0 0.0  
 lab\*tce 1.0 0.0 -  
 lab\*ncE 0.0 0.0 -

relative Inform. Technology (IT)  
 olvi3\*: 0.5 0.5 1.0 (1.0)  
 cmyn3\*: 0.5 0.5 0.0 (0.0)  
 olvi4\*: 0.5 0.5 1.0 1.0  
 cmyn4\*: 0.5 0.5 0.0 0.0  
**standard and adapted CIELAB**  
 LAB\*LAB 74.3 2.21 -42.13  
 LAB\*LABa 74.3 2.19 -42.13  
 LAB\*TChA 75.0 42.2 272.97

relative CIELAB lab\*  
 lab\*lab 0.75 0.026 -0.498  
 lab\*tch 0.75 0.5 0.758  
 lab\*nch 0.0 0.5 0.758  
**relative Natural Colour (NC)**  
 lab\*lrj 0.75 0.009 -0.499  
 lab\*tce 0.75 0.5 0.753  
 lab\*ncE 0.0 0.5 b01r

relative Inform. Technology (IT)  
 olvi3\*: 0.5 0.5 0.5 (1.0)  
 cmyn3\*: 0.5 0.5 0.5 (0.0)  
 olvi4\*: 1.0 1.0 1.0 0.5  
 cmyn4\*: 0.0 0.0 0.5  
**standard and adapted CIELAB**  
 LAB\*LAB 53.21 0.04 0.0  
 LAB\*LABa 53.21 0.0 0.0  
 LAB\*TChA 50.0 0.01 -

relative CIELAB lab\*  
 lab\*lab 0.5 0.0 0.0  
 lab\*tch 0.5 0.0 -  
 lab\*nch 0.5 0.0 -  
**relative Natural Colour (NC)**  
 lab\*lrj 0.5 0.0 0.0  
 lab\*tce 0.5 0.0 -  
 lab\*ncE 0.5 0.0 -

relative Inform. Technology (IT)  
 olvi3\*: 0.0 0.0 0.5 (1.0)  
 cmyn3\*: 1.0 1.0 1.0 0.5  
 olvi4\*: 0.5 0.5 1.0 0.5  
 cmyn4\*: 0.5 0.5 0.0 0.5  
**standard and adapted CIELAB**  
 LAB\*LAB 32.1 2.25 -42.11  
 LAB\*LABa 32.1 2.19 -42.13  
 LAB\*TChA 25.01 42.2 272.97

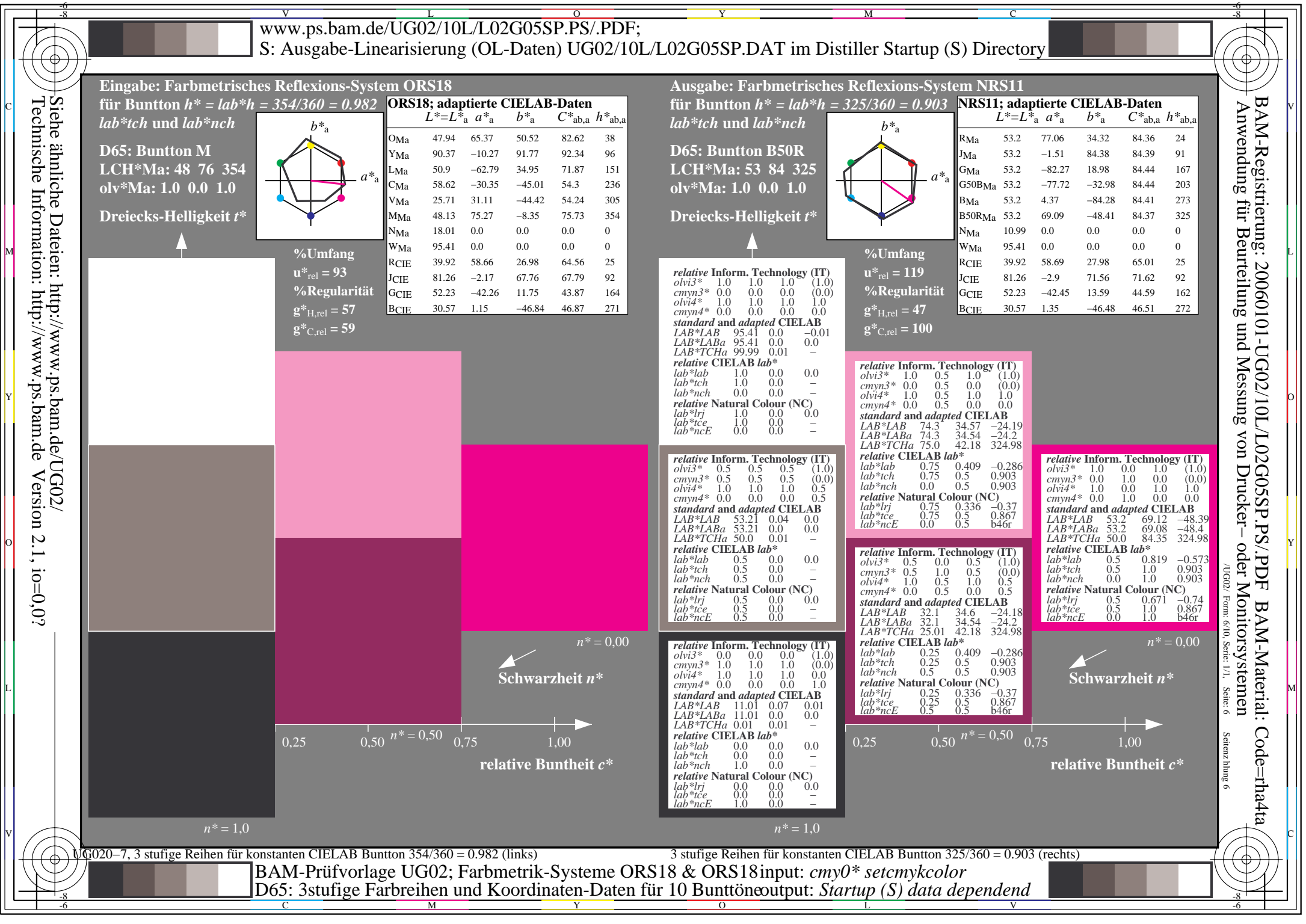
relative CIELAB lab\*  
 lab\*lab 0.25 0.026 -0.498  
 lab\*tch 0.25 0.5 0.758  
 lab\*nch 0.5 0.5 0.758  
**relative Natural Colour (NC)**  
 lab\*lrj 0.25 0.009 -0.499  
 lab\*tce 0.25 0.5 0.753  
 lab\*ncE 0.5 0.5 b01r

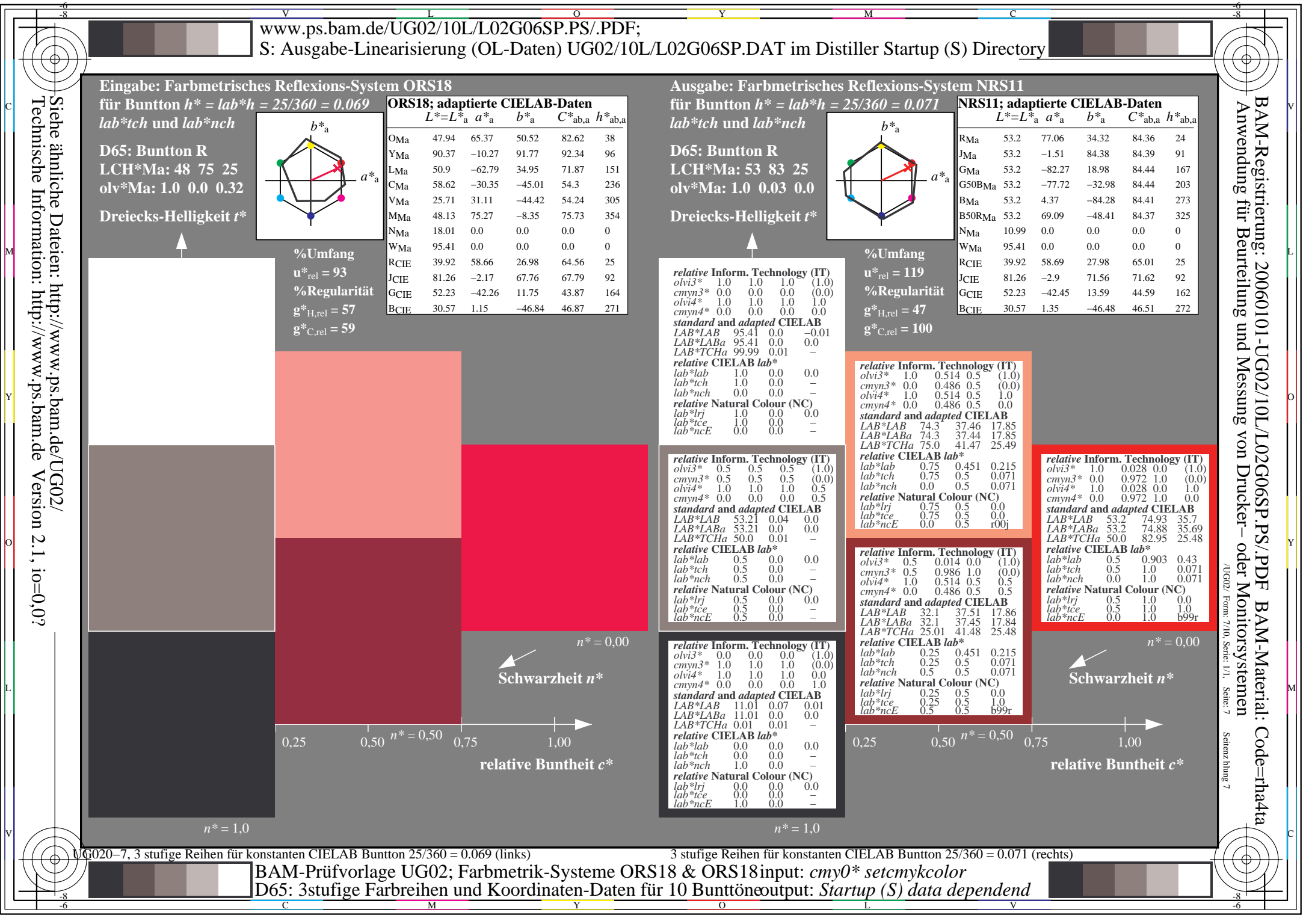
relative Inform. Technology (IT)  
 olvi3\*: 0.0 0.0 0.5 (1.0)  
 cmyn3\*: 1.0 1.0 1.0 0.0  
 olvi4\*: 0.5 0.5 1.0 0.5  
 cmyn4\*: 0.5 0.5 0.0 0.5  
**standard and adapted CIELAB**  
 LAB\*LAB 32.1 2.25 -42.11  
 LAB\*LABa 32.1 2.19 -42.13  
 LAB\*TChA 25.01 42.2 272.97

relative CIELAB lab\*  
 lab\*lab 0.0 0.0 0.0  
 lab\*tch 0.0 0.0 -  
 lab\*nch 1.0 0.0 -  
**relative Natural Colour (NC)**  
 lab\*lrj 0.0 0.0 0.0  
 lab\*tce 0.0 0.0 -  
 lab\*ncE 1.0 0.0 -

relative Inform. Technology (IT)  
 olvi3\*: 0.0 0.0 0.5 (1.0)  
 cmyn3\*: 1.0 1.0 1.0 0.0  
 olvi4\*: 0.5 0.5 1.0 0.5  
 cmyn4\*: 0.5 0.5 0.0 0.5  
**standard and adapted CIELAB**  
 LAB\*LAB 32.1 2.25 -42.11  
 LAB\*LABa 32.1 2.19 -42.13  
 LAB\*TChA 25.01 42.2 272.97

relative CIELAB lab\*  
 lab\*lab 0.5 0.052 -0.997  
 lab\*tch 0.5 1.0 0.758  
 lab\*nch 0.0 1.0 0.758  
**relative Natural Colour (NC)**  
 lab\*lrj 0.5 0.018 -0.999  
 lab\*tce 0.5 1.0 0.753  
 lab\*ncE 0.0 1.0 b01r

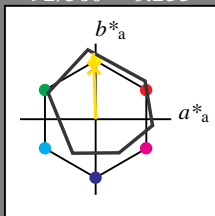




Siehe ähnliche Dateien: <http://www.ps.bam.de/UG02/>  
Technische Information: <http://www.ps.bam.de> Version 2.1, io=0,0?

### Eingabe: Farbmétrisches Reflexions-System ORS18

für Bunton  $h^* = lab^*h = 92/360 = 0.255$   
 $lab^*tch$  und  $lab^*nch$



D65: Bunton J

LCH\*Ma: 86 88 92

olv\*Ma: 1.0 0.9 0.0

Dreiecks-Helligkeit  $t^*$



%Umfang

$u^*_{rel} = 93$

%Regularität

$g^*_{H,rel} = 57$

$g^*_{C,rel} = 59$

### ORS18; adaptierte CIELAB-Daten

	$L^* = L^*_{a,a}$	$a^*_{a,a}$	$b^*_{a,a}$	$C^*_{ab,a}$	$h^*_{ab,a}$
OMa	47.94	65.37	50.52	82.62	38
YMa	90.37	-10.27	91.77	92.34	96
LMa	50.9	-62.79	34.95	71.87	151
CMa	58.62	-30.35	-45.01	54.3	236
VMa	25.71	31.11	-44.42	54.24	305
MMa	48.13	75.27	-8.35	75.73	354
NMa	18.01	0.0	0.0	0.0	0
WMa	95.41	0.0	0.0	0.0	0
RCIE	39.92	58.66	26.98	64.56	25
JCIE	81.26	-2.17	67.76	67.79	92
GCIE	52.23	-42.26	11.75	43.87	164
BCIE	30.57	1.15	-46.84	46.87	271



$n^* = 0,00$

25 50 75 100

relative Buntheit  $c^*$

0,25 0,50 0,75 1,00

Schwarzheit  $n^*$

$n^* = 1,0$

### Ausgabe: Farbmétrisches Reflexions-System NRS11

für Bunton  $h^* = lab^*h = 92/360 = 0.256$

$lab^*tch$  und  $lab^*nch$

D65: Bunton J

LCH\*Ma: 53 83 92

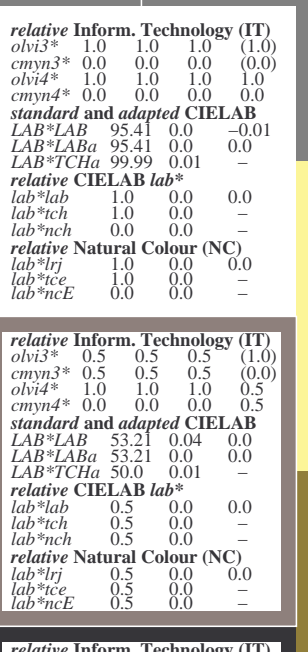
olv\*Ma: 0.98 1.0 0.0

Dreiecks-Helligkeit  $t^*$



### NRS11; adaptierte CIELAB-Daten

	$L^* = L^*_{a,a}$	$a^*_{a,a}$	$b^*_{a,a}$	$C^*_{ab,a}$	$h^*_{ab,a}$
RMa	53.2	77.06	34.32	84.36	24
JMa	53.2	-1.51	84.38	84.39	91
GMa	53.2	-82.27	18.98	84.44	167
B50BMa	53.2	-77.72	-32.98	84.44	203
BMa	53.2	4.37	-84.28	84.41	273
B50RMa	53.2	69.09	-48.41	84.37	325
NMa	10.99	0.0	0.0	0.0	0
WMa	95.41	0.0	0.0	0.0	0
RCIE	39.92	58.69	27.98	65.01	25
JCIE	81.26	-2.9	71.56	71.62	92
GCIE	52.23	-42.45	13.59	44.59	162
BCIE	30.57	1.35	-46.48	46.51	272



$n^* = 1,0$

25 50 75 100

$n^* = 0,00$

25 50 75 100

relative Buntheit  $c^*$

0,25 0,50 0,75 1,00

Schwarzheit  $n^*$

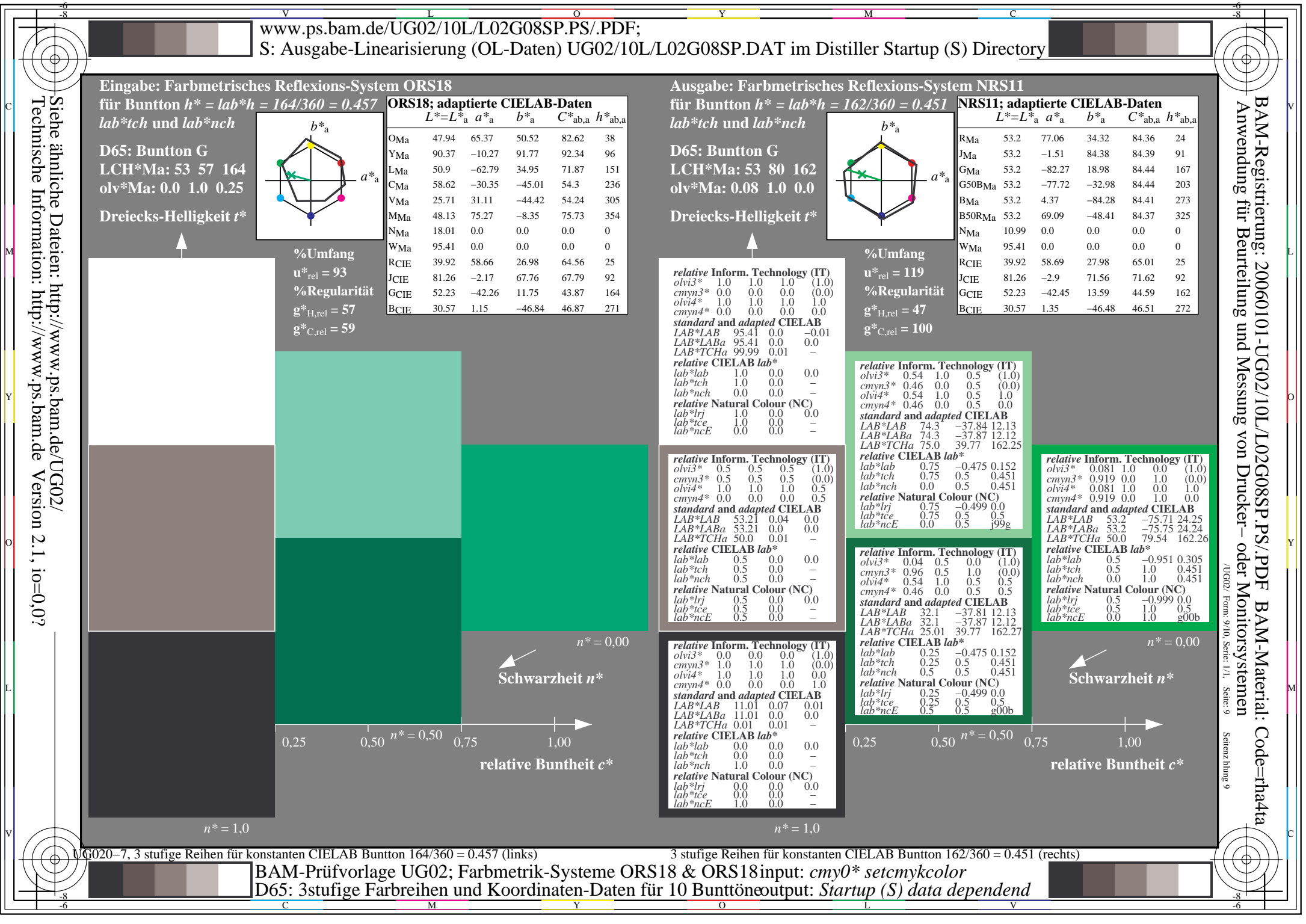
$n^* = 1,0$

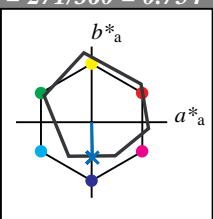
UG02-7, 3 stufige Reihen für konstanten CIELAB Bunton 92/360 = 0.255 (links)

BAM-Prüfvorlage UG02; Farbmétrik-Systeme ORS18 & ORS18 input: cmy0\* setcmykcolor

D65: 3stufige Farbreihen und Koordinaten-Daten für 10 Bunttöneoutput: Startup (S) data dependend

3 stufige Reihen für konstanten CIELAB Bunton 92/360 = 0.256 (rechts)



**Eingabe: Farbmétrisches Reflexions-System ORS18**für Bunton  $h^* = lab^*h = 271/360 = 0.754$   
 $lab^*tch$  und  $lab^*nch$ **D65: Bunton B****LCH\*Ma: 42 45 271****olv\*Ma: 0.0 0.49 1.0****Dreiecks-Helligkeit  $t^*$** 

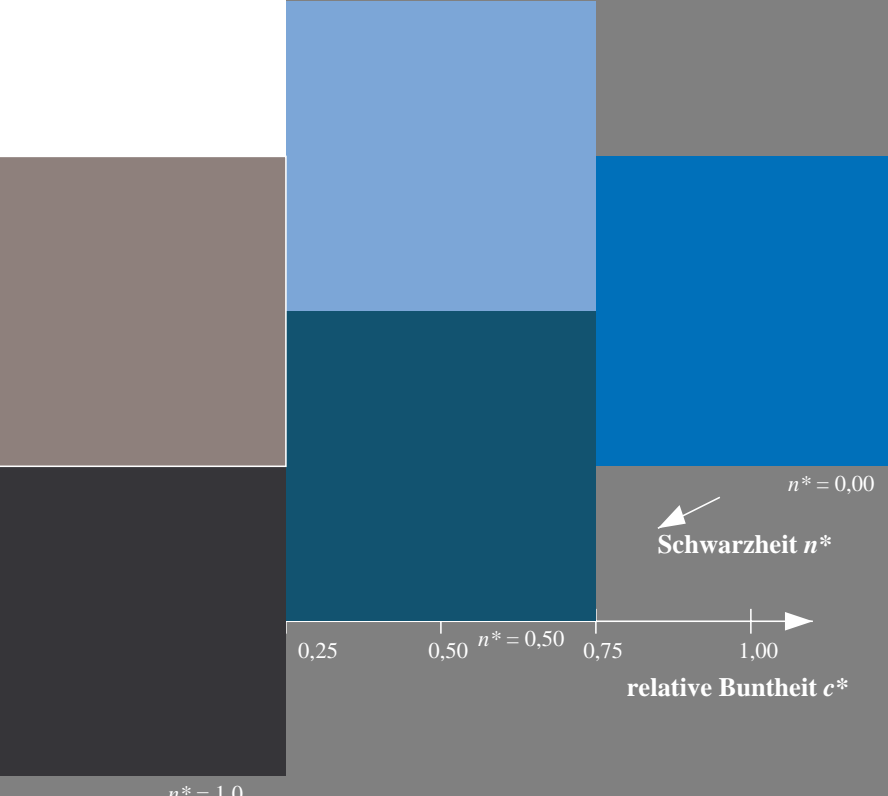
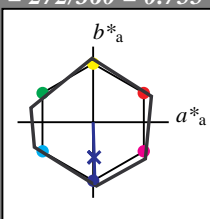
%Umfang

 $u^*_{rel} = 93$ 

%Regularität

 $g^*_{H,rel} = 57$  $g^*_{C,rel} = 59$ **ORS18; adaptierte CIELAB-Daten**

	$L^* = L^*_{ab}$	$a^*_{ab}$	$b^*_{ab}$	$C^*_{ab,ab}$	$h^*_{ab,ab}$
OMa	47.94	65.37	50.52	82.62	38
YMa	90.37	-10.27	91.77	92.34	96
LMa	50.9	-62.79	34.95	71.87	151
CMa	58.62	-30.35	-45.01	54.3	236
VMa	25.71	31.11	-44.42	54.24	305
MMa	48.13	75.27	-8.35	75.73	354
NMa	18.01	0.0	0.0	0.0	0
WMa	95.41	0.0	0.0	0.0	0
RCIE	39.92	58.66	26.98	64.56	25
JCIE	81.26	-2.17	67.76	67.79	92
GCIE	52.23	-42.26	11.75	43.87	164
BCIE	30.57	1.15	-46.84	46.87	271

**Ausgabe: Farbmétrisches Reflexions-System NRS11**für Bunton  $h^* = lab^*h = 272/360 = 0.755$ **lab^\*tch** und **lab^\*nch****D65: Bunton B****LCH\*Ma: 53 83 272****olv\*Ma: 0.0 0.02 1.0****Dreiecks-Helligkeit  $t^*$** 

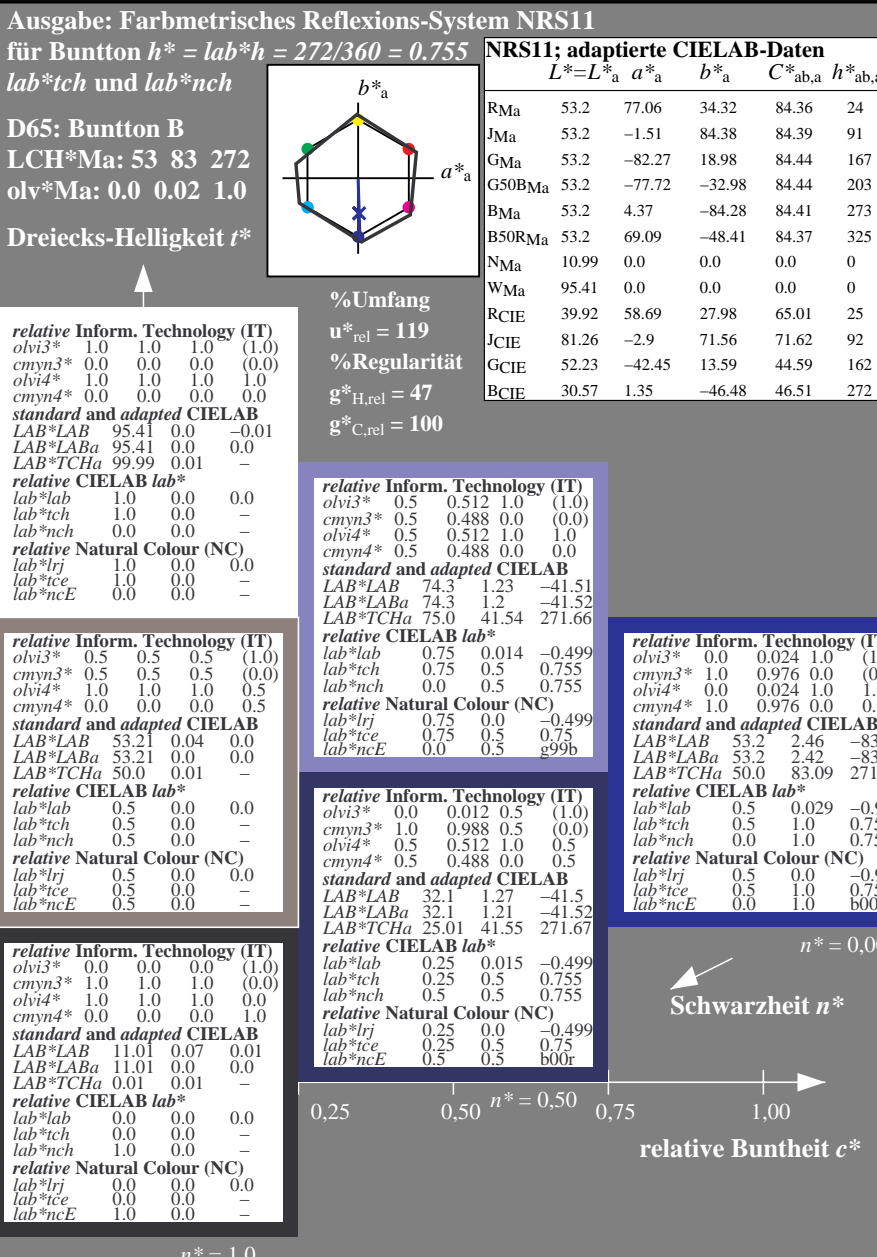
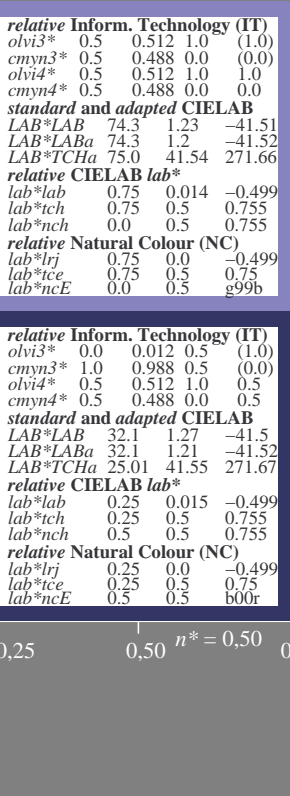
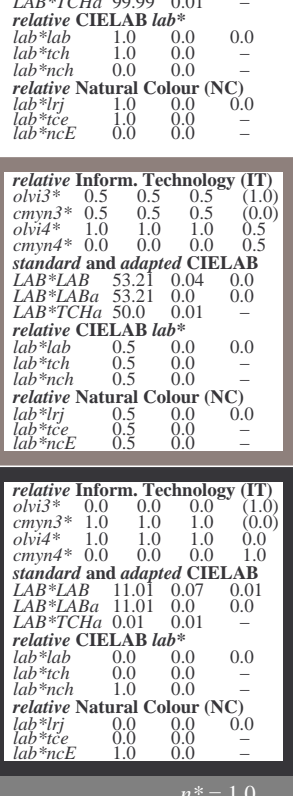
%Umfang

 $u^*_{rel} = 119$ 

%Regularität

 $g^*_{H,rel} = 47$  $g^*_{C,rel} = 100$ **NRS11; adaptierte CIELAB-Daten**

	$L^* = L^*_{ab}$	$a^*_{ab}$	$b^*_{ab}$	$C^*_{ab,ab}$	$h^*_{ab,ab}$
RMa	53.2	77.06	34.32	84.36	24
JMa	53.2	-1.51	84.38	84.39	91
GMa	53.2	-82.27	18.98	84.44	167
G50BMa	53.2	-77.72	-32.98	84.44	203
BMa	53.2	4.37	-84.28	84.41	273
B50RMa	53.2	69.09	-48.41	84.37	325
NMa	10.99	0.0	0.0	0.0	0
WMa	95.41	0.0	0.0	0.0	0
RCIE	39.92	58.69	27.98	65.01	25
JCIE	81.26	-2.9	71.56	71.62	92
GCIE	52.23	-42.45	13.59	44.59	162
BCIE	30.57	1.35	-46.48	46.51	272



3stufige Reihen für konstanten CIELAB Bunton 272/360 = 0.755 (rechts)

BAM-Prüfvorlage UG02; Farbmétrik-Systeme ORS18 & ORS18 input: cmy0\* setcmykcolor  
D65: 3stufige Farbreihen und Koordinaten-Daten für 10 Bunttöneoutput: Startup (S) data dependend

UG02-7, 3 stufige Reihen für konstanten CIELAB Bunton 271/360 = 0.754 (links)

BAM-Prüfvorlage UG02; Farbmétrik-Systeme ORS18 &amp; ORS18 input: cmy0\* setcmykcolor

D65: 3stufige Farbreihen und Koordinaten-Daten für 10 Bunttöneoutput: Startup (S) data dependend